

砂質土の平面ひずみ試験法
—主として載荷板の摩擦の影響について—

大阪市立大学工学部 正員 望月 秋利
大林組(株) 正員 高橋 真一
大阪市立大学大学院 学生員 柴田 卓詞

1. まえがき

平面ひずみ試験が行われた歴史は古く、W. Kjellman (1936)¹⁾ はすでに三主応力制御型三軸圧縮試験機を用い、立方体供試体による実験を行っている。その後 A. W. Bishop (1957)²⁾ は、供試体の長さが幅の 8 倍ある直方体供試体を用いて実験を行い、平面ひずみ試験の一の流れを作った。最近では、三主応力制御型試験機を用いた平面ひずみ試験実施例が増え、立方体に近い供試体を用いることが多い。この理由の一つは、平面ひずみ条件による強度はもとより、エレメント試験として全過程の応力と変形を捕えていくこととすると点にあろう。この場合、平面ひずみ条件の制御や①載荷板と供試体との摩擦の低減には、Bishop 型の供試体の場合に比べて特に工夫が必要となる。本報告では、砂質土を用いた実験を行い、それらについて検討した。

2. 実験条件

試料は、前回報告に用いたと同じ珪砂で、表-1 に主な性質を示す。実験は不飽和試料を 3 層に分けて突き棒で突き固めたものを用い、①載荷板を滑、粗の 2 通りに変えて、平面ひずみ試験を行った。なお、試験機についてはすでに報告したが、その特徴をまとめると、①圧力室内に載荷枠を持つ、②③載荷板と供試体の摩擦の低減を目的とした②③載荷システムを持つ、③非接触変位計を用いた側方変位計測装置を持つ、等である。

3. 実験の方法とその検討

(1) 側方(O_2)載荷板の制御：図-1 はゴム膜の応力変化に伴う圧縮(くい込み)量を計測したものである。平面ひずみの制御は、図中の直線によつて示される量を補正しながら、 $1/500$ mm まで測定できる変位計を用いて、手動で行つた。制御誤差は最大でも $1/100$ mm を越えることはなかつた。

徳江は、平面ひずみの制御条件として $\Delta\varepsilon_2 \leq 0.063\%$ を提案しているが、本実験の場合 $\Delta\varepsilon_2 \leq 0.02\%$ で、十分な精度で制御できること考えられる。

(2) 側方(O_2)載荷板の摩擦の低減：図-2 はテフロン板(O_2 載荷板はテフロン加工)とゴム膜の摩擦を調べた結果である。テフロン板にシリコングリスを塗布した場合、摩擦係数(μ)は 0.02 であった。図-3 はアリスを塗布した O_2 載荷板とゴム膜の間に働く摩擦力を、供試体上、下に荷重計を置き実測した結果である。本装置の場合、 O_2 載荷システムによって供試体中央で上、下対称の摩擦力が分布し、上、下で測定される O_1 に差はないはずであるが、±1% の差が生じた。仮に通常の固定型 O_2 載荷装置であるとして、 $\mu = 0.02$ を用いて試算すると、 O_1 測定には少

表-1 主な物理性質

G_s	2.775
D_{max}	2.0 mm
U_c	3.07
ρ_{max}	1.657 g/cm ³
ρ_{min}	1.412 g/cm ³

表-2 実験条件

排水条件 供試体形状	CD
	直方体: 4.1×6.4×8.0 cm
W_d	7.5 %
R_d	1.633 g/cm ³
S_r	33.9 %
D_r	90 %
G_o	0.5, 1, 2, 4 kgf/cm ²
せん断速度	ひずみ制御: 0.175 %/min
O_2 載荷板	滑 シリコン アリス 粗 シリコン アリス φ1cm ポラスチン ポラスチン

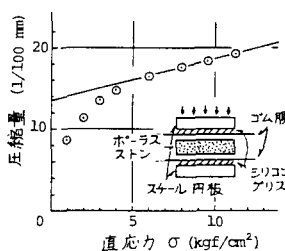


図-1 ゴム膜の圧縮量

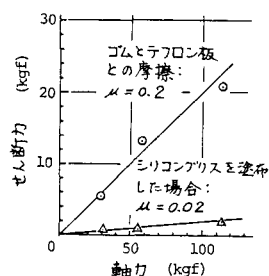


図-2 ゴム膜とテフロンの摩擦

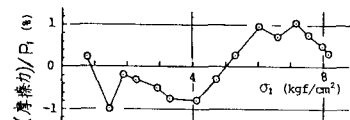


図-3 載荷システムの方向の誤差

本装置の

なくとも4.5%の誤差が生じ、この値と比べれば σ_2 載荷システムにより、 σ_1 の測定は十分に精度で測定できたと判断できる。

(3) 上、下(σ_1)載荷板の摩擦の影響： σ_1 載荷板の摩擦の低減方法について多くの報告があり、多くは供試体と載荷板の間にグリスを塗布したゴム膜を入れ、滑の状態で実験が行われる。図-4はこの方法で実験して結果で、図-5、6は、これとポーラスストン(粗)載荷板を用いた場合と比較した。滑載荷板の場合、ピーク強度はやや小さいひずみで生じ、 br 値の変化もやや小さい。供試体の変形は粗載荷板の場合、両端が拘束され弾性とは、たが、滑の場合は拡がった形とは、つまり、 σ_1 載荷板の摩擦は無視できないことがわかる。

4.まとめ

σ_2 載荷板の摩擦を軽減し、かつ σ_1 の測定を正確にする目的の σ_2 載荷システムを用い、平面ひずみ試験を実施した。図-7に、 σ_1 載荷板の滑、粗の違いによる強度の比較を、三軸圧縮試験結果も併せて示す。平面ひずみ、三軸圧縮試験のいずれも、滑載荷板の方が強度(応力範囲：1~4 kgf/cm²)で約4%

小さくなり、また平面ひずみ試験の強度は三軸圧縮試験の強度に比べて、滑、粗いずれの場合も5~10%大きくなれた。

謝辞

この研究は、本学三笠正人教授の指導を受け、昭和57年度科研費の援助を受けて進めた。また実験を行うに当り、途次性が従来の1/20程度のゴムスリーブの開発を行ったが、それに岸重夫(ヒガシ化学(株))、渡辺準介(タイガー・スポリマー(株))各氏の御協力を頂いた。ここに記して謝意を表します。

参考文献

- W. Kjellman: Report on an Apparatus for Consummate Investigation of Mechanical Properties of Soils, The 1st ICSMFE, vol.1, pp.16-20, 1936
- A. W. Bishop: Discussion on Soil Properties and Their Measurement, The 4th ICSMFE, vol.3, pp.103-104, 1957
- 望月秋利他：新しい三主応力制御型三軸試験機による砂質土の平面ひずみ試験 土木学会第38回年講、III, pp.19~20, 1983
- 徳江俊秀他：歯の平面ひずみ条件に関する基礎的検討、第18回土質工学研究発表会、pp.297~300, 1983
- D. H. Conforth: Some Experiments on the Influence of Strain Conditions on the Strength of Sand, Geotech., vol.14, No.2, pp.143-167, 1964

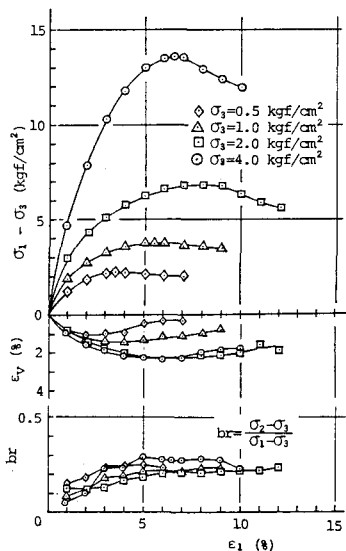


図-4 平面ひずみ試験
(CD: 滑載荷板)

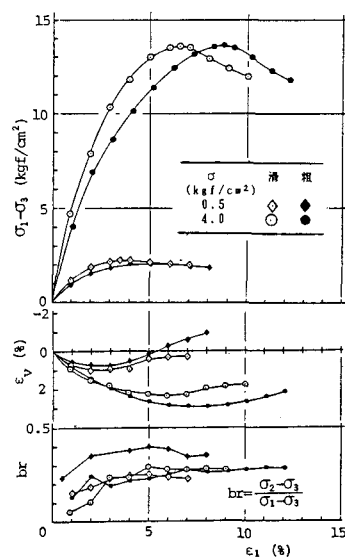


図-5 載荷板の粗度の違いによる影響

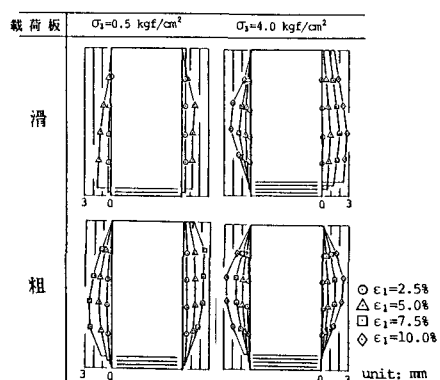


図-6 供試体の変形
(CD: 粗, 滑載荷板)

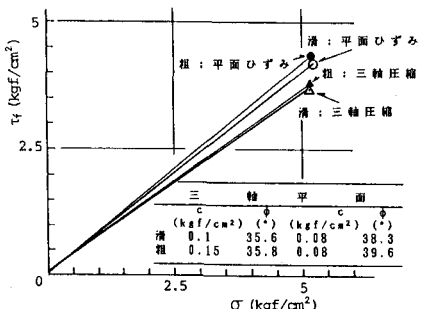


図-7 強度の比較
(三軸圧縮, 平面ひずみ)